

X 光 图 像 的 增 强 与 复 原

李 正 顺

(佳木斯教育学院 物理系, 佳木斯市)

吴 桂 英

(中国科学院长春光学精密机械研究所)

提 要

本文提出了两种 X 光图像处理方法, 其中增强方法是运用调节参量在计算机上完成的, 结果令人满意。

复原法主要是在只考虑散射和光源尺寸的条件下计算 MTF(散射主要考虑增感屏的影响)在特殊情况下, 可得到 MTF 的解析形式, 它与计算机结果是一致的。

关键词: 数字图像; X 光图像。

一、前 言

目前对物体内部信息的探测多数仍采用传统的 X 光照相。由于 X 光在照相过程中存在着多种模糊因素, 故像质是较差的。加大 X 光机功率对提高像质有一定的作用, 但效果不大^[1]。

自图像处理出现以后, X 光的像质才得到了改善。X 光图像的处理亦可采用光学、电子学和计算机三种方法。实践表明, 光学方法由于引进了相干源, 是由此而带来的相干干扰至今尚难以克服; 电子学方法也不理想。目前较成功的是电子计算机方法, 它具有快速、灵活的优点, 在国内外已获得了广泛的应用。

二、图 像 增 强

实验是在美国 101 计算机上进行的。这是一部功能齐全的大型图像处理机, 但缺乏处理 X 光图像软件。这里给出, 只要键盘操作, 调节参数, 而无需增加软件的方法。目前该方法已获得了成功的应用。

众所周知, 图像的清晰度与图像的对比度密切相关。只要利用计算机的计算和灵活功能, 适当地展宽图像的对比度, 就会将一幅模糊的图像变得清晰起来。具体方法如下:

1. 输入图像

输入有两种方法:

(1) 计算机输入法。如采用 C-3, C-6 等仪器输入, 它的优点是分辨率高(可达 10^6 grey

level), 缺点是麻烦, 有时还要编制输入程序。还由于灵敏度高, 常常使噪声混入。

(2) 电子扫描法。尽管它的精度差些, 但它的操作简便, 且一般图像均可满足精度要求, 故实际中都采用此法。

2. 计算机键盘操作

(1) 利用机内原有子程序。通过键盘操作, 首先确定图像中处理的区域。由于计算机的限制, 对处理的区域有一定要求。若需处理区域较大, 可采用分区处理方法。

(2) 利用子程序。对所处理图像灰度作统计平均, 并打印结果。

(3) 由打印结果, 根据公式(1)展宽图像对比度, 然后将新对比度图像再现。这里要反复调节参数, 直到图像取得最佳效果为止。

$$G(X, Y) = g_m + ds * [O(X, Y) + m(X, Y)] / s(X, Y) \quad (1)$$

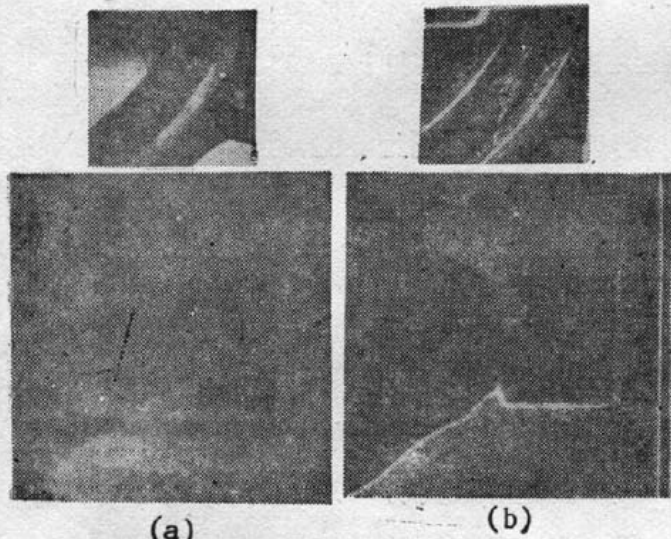


Fig. 1 X-ray image by enhancement

(a) before processing
(b) after processing

式中 $G(X, Y)$ —— 展宽后灰度, $O(X, Y)$ —— 原图像灰度; g_m —— 展宽后图像的期望平均灰度; $m(X, Y)$ —— 围绕 (X, Y) 小范围内的平均灰度; $s(X, Y)$ —— 围绕 (X, Y) 小范围内标准自差灰度。

我们可将(1)式变为;

$$G(X, Y) = \alpha * g_m + [1 - \alpha] * m(X, Y) + ds * [O(X, Y) - m(X, Y)] / [s(X, Y) + (ds/Y_m)] \quad (2)$$

α 的值取为 $0 \sim 1$, 当 $\alpha=0$ 时, 表示平均值不变; Y_m —— 限制分母为零的参数。

调节参数实际上仅调节 α 和 Y_m 。 α 通常可取 $0.7 \sim 0.8$, Y_m 一般可取 50 左右 (视 ds 之值而定, 以保留此项为好)。

实践表明, 以上方法对动态 X 光图像也会得到明显的效果。

用此法处理所得到的图片如图 1 所示。

三、图像复原

这里仅限于讨论静态 X 光图像的复原。问题的核心是寻找 MTF。我们首先讨论一下 X 光成像的模糊因素。

1. 模糊因素

(1) 散射模糊。X 光与物质相互作用必发生散射, 散射就必造成图像模糊, 这是 X 光图像的一个特点。核物理研究表明, 当光子能量 $h\nu \leq 1\text{MeV}$ 时, 主要表现为 Compton 效应; 当光子能量较低时, 主要表现为光电效应; 当光子能量较高时, 将出现电子对效应。在整个成像过程, 发生散射的区域很多, 但对成像影响最大的是增感屏, 因为它离底片最近, Monte-Carlo 的计算证明了这一点, 美国和日本的经验也证明了这一点^[3, 4]。因此本文中所讨论的散射模糊只限于增感屏。

(2) 几何模糊。X光光源通常比可见光光源的尺寸要大,如有的W针直径达几个mm数量级,由此引起的半影效应严重,实际中不容忽略,这也是X光图像的一个特点。此外,亦有底片的颗粒噪声,显微密度计引进的量化噪声等,相对地说不如上面的重要,故这里不予讨论。

2. 点扩散函数

(1) 散射PSF。这里仅考虑Compton效应。由Heitler给出的微分截面形式为^[5]:

$$\frac{d\psi}{d\Omega r_0^2} = 4 \frac{(1-\gamma)^2 \cos \beta}{(1+2\gamma+\gamma^2 \sin^2 \beta)^2} \left\{ 1 + \frac{2\gamma^2 \cos^4 \beta}{(1+2\gamma+\gamma^2 \sin^2 \beta)[1+\gamma(\gamma+2)\sin^2 \beta]} - \frac{2(1+\gamma)^2 \sin^2 \beta \cos^2 \beta}{[1+\gamma(\gamma+2)\sin^2 \beta]} \right\} \quad (3)$$

式中: β —反冲电子相对于入射光的夹角; $d\Omega$ —反冲电子立体角元; r_0 —经典电子半径; $\gamma = K/\mu$, $\mu = m_e c^2 = 0.511 \text{ MeV}$ (m_e 为电子的静止质量), K —入射光能量, ($k = h\nu$)。为计算简单起见, 作如下的假定: (1) 底片成像只与Compton电子的数目有关, 且忽略二次电子的影响; (2) 屏与底片紧密接触; (3) 屏与入射X光垂直。

若屏厚为 d , 密度为 ρ , 屏物质的原子量为 A 。考虑到核物理中的微分截面 $d\varphi$ 是表示 $h\nu$ 和单位体积中一个电子的作用几率。因屏中单位体积有 $N = \frac{\rho}{A} N_0 Z$ 个电子 (N_0 —阿佛加德罗常数, Z —原子序数)。故 $N d\varphi$ 是表示单位体积内的电子数, 即可表示光强, 实际上这可以近似地看作是X光的PSF。

在增感屏中, 为了考虑整个屏对光强的贡献, 我们还要对厚度进行积分。

我们首先利用三角公式和 $\operatorname{ctg} \frac{\theta}{2} = (1+K) \operatorname{tg} \beta$, 将(3)式中的 β 换成 θ , 并注意到 $d\Omega_\theta = \sin \beta d\beta d\varphi$, $d\Omega_\theta = \sin \theta d\theta d\varphi$ 。再对屏厚进行积分, 最后可得:

$$I_\theta = A \int_{\theta_0}^{\frac{\pi}{2}} \frac{(1+K)^2 \cdot U}{(1+2K+K^2 V)^2} \cdot \left\{ 1 + \frac{2K^2 U^4}{(1+2K+K^2 V)[1+K(K+2)V]} - \frac{2(1+K)^2 U^2 V}{1+K(K+2)V} \right\} \cdot \frac{U \sin \theta d\theta}{(1-\cos \theta)(1+K^2) \sin^2 \frac{\theta}{2} + \cos^2 \frac{\theta}{2}} \quad (4)$$

式中 $U = (1+K) / \sqrt{(1+K)^2 + \operatorname{ctg}^2 \frac{\theta}{2}}$; $V = \operatorname{ctg}^2 \frac{\theta}{2} / (1+K)^2 + \operatorname{ctg}^2 \frac{\theta}{2}$; $A = 8\pi r_0^2 \frac{\rho}{A} (1+K)$; Z ; $\theta_0 = \operatorname{tg}^{-1} \frac{r}{d}$, (r 为P点坐标)。

按(4)式计算出的 $I(\theta)$ 即为考虑增感屏影响后的散射PSF。

该结果很难由解析表达式给出, 但由Weierstrass定理, 我们把它可表示为多项式:

$$\sum_{n=0}^n A_n r^n, A_n \text{为待定常数} \text{ 只要 } n \text{ 足够大, 它可获任意精度。}$$

在无屏情况, 假定成像底片与物体后边界距离 $d=1 \text{ mm}$ 。则通过计算可得如下近似公式:

$$d\psi/d\Omega r_0^2 = B \exp \left[-\left(\frac{r}{\sigma'} \right)^2 \right] \quad (5)$$

式中 $B = \frac{4(1+\gamma)^2}{(1+2\gamma)^2} \left(1 + \frac{2\gamma^2}{1+2\gamma} \right)$, $\sigma' = \sigma_0 + K(r-r'_0)$, K , σ_0 , r'_0 为待定常数。若 $r=1$, 可取 $\sigma_0=0.3$, $K=0.58$, $r'_0=0.0875 \text{ mm}$ 。

在整个 θ 取值范围内, 此公式误差在 5% 之内。当 γ 变大时, σ' 、 σ_0 及 K 值均相应变小, 即 $d\psi/d\Omega r_0^2 \sim r$ 曲线变陡, 此时散射模糊也会相应变小(见图 2)。

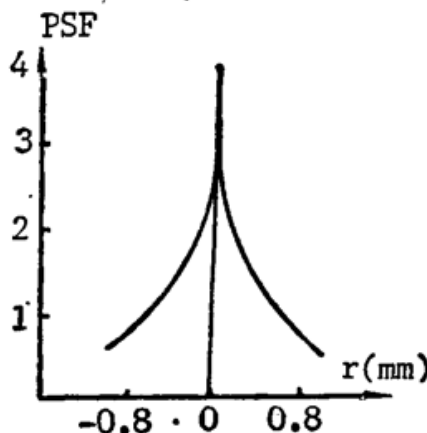


Fig. 2 Scattering point-spread function

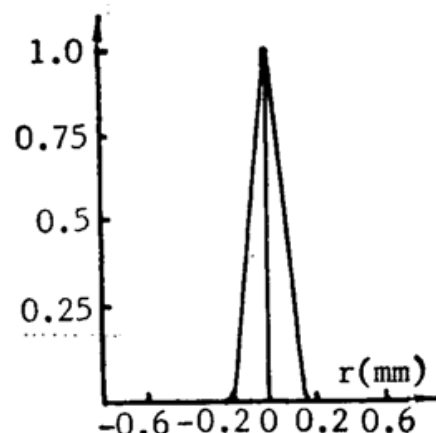


Fig. 3 Function of target

(2) 静态 X SF。光的这里我们来考虑几何效应和散射作用的综合影响。若 X 光源为一有限大小的圆盘时, 由光的传播规律可以算出, 物体上一点在底片前的光强可以用一个三角波来近似, 我们称它为靶函数(见图 3), 将它可表示为:

$$e(r) = \begin{cases} 1 - \frac{2}{W}|r|, & |r| \leq W/2; \\ 0, & \text{其它。} \end{cases} \quad (6)$$

其中 W 为三角波的宽度, 而三角波的高度已归一化了。

若将 X 光成像视为空间不变系统, 则散射和几何效应的综合效应可以用卷积形式给出。

若将静态 X 光的 PSF 记为 $i(U)$, 则:

$$i(U) = s(r) * e(r) = B \int_{-\infty}^{\infty} \left(1 - \frac{|U-r|}{W/2}\right) \exp\{-[r/(\sigma_0 + K(r-r_0))]^2\} dr. \quad (7)$$

在无屏, 且 $r=r_0$ 时, 可得:

$$\begin{aligned} i(U) = B \sqrt{\frac{\pi}{a}} & \left\{ \left(\frac{2U}{W} - 1 \right) \operatorname{erf} \left[\sqrt{a} \left(U - \frac{W}{2} \right) \right] + \left(\frac{2U}{W} + 1 \right) \operatorname{erf} \left[\sqrt{a} \left(U + \frac{W}{2} \right) \right] \right. \\ & \left. - \frac{4U}{W} \operatorname{erf} \left(\sqrt{a} U \right) \right\} - \frac{2}{Wa} \exp(-aU^2) + \frac{1}{Wa} \exp \left[-a \left(U - \frac{W}{2} \right)^2 \right] \\ & + \frac{1}{Wa} \exp \left[-a \left(U + \frac{W}{2} \right)^2 \right], \quad \left\{ a = \left(\frac{1}{\sigma_0} \right)^2 \right\}. \end{aligned} \quad (8)$$

有屏时, $i(U) = \int_{-\infty}^{\infty} \sum_{n=0}^{\infty} A_n r^n \left(1 - \frac{|U-r|}{W/2}\right) dr.$

(3) 静态 X 光图像 MTF。若 $I(U)$, $E(U)$, $S(U)$ 分别为 $i(r)$, $e(r)$, $s(r)$ 的 Fourier 变换, 则有 $I(U) = S(U)E(U)$, $E(U) = \frac{W}{2} \sin^2 c\left(\frac{WU}{4}\right)$ 。在无屏且 $r \approx r_0$ 时, $s(U) = B \mathcal{F} \cdot \left\{ \exp \left[-\left(\frac{r}{\sigma_0} \right)^2 \right] \right\} = B \cdot \sigma_0 \sqrt{\pi} \exp[-(\sigma_0 \pi U)^2]$ 。故 $I(U) = \frac{2(1+\gamma)^2}{(1+2\gamma)^2} \left(1 + \frac{2\gamma^2}{1+2\gamma}\right) W \sigma_0 \cdot \sqrt{\pi} \sin^2 c\left(\frac{WU}{4}\right) \exp[-(\sigma_0 \pi U)^2]$ 。

在有增感屏时,最好采用FFT程序将PSF之值逐点输入计算,然后再将其结果逐点与 $\frac{W}{2} \sin^2\left(\frac{WU}{4}\right)$ 之值相乘。

由MTF可得滤波曲线,由此即可作X光图像复原工作。MTF的解析结果与计算机结果大体相同。

参 考 文 献

- [1] Doglas Venable; *LA-3241*.
- [2] B. R. Hunt *et al.*; *LA-4305*.
- [3] Wallis Robert; "Proceeding of the Asilomar Conference on Circuits Systems and Computers", (Pacific Grove, California; Edited by Shu-Park Chan; Institute of Electrical and Electronics Engineers, Inc., New York, N. Y., Printed in USA, 11th, 1977), 240~250.
- [4] 土井邦雄; "计测と制御", 1970, 9, No. 11, 811~821.
- [5] W. Heitler; "The Quantum Theory of Radiation", (Oxford at the Clarendon Press, 1954), 220~225.

Enhancement and restoration of X-ray imaging

LI ZHENGSHUN

(Department of Physics Jiamusi Education Institute, Jiamusi)

WU GUIYING

(Changchun Institute of Optics and Fine Mechanics, Academia Sinica)

(Received 23 November 1987; revised 4 October 1989)

Abstract

In this paper, we suggest a useful method of enhancement and restoration for X-ray imaging. Enhancement of X-ray imaging is done by adjusting parameter in computer and result is satisfactory.

MTF of X-ray images for stationary body is studied. For simplicity, only the degradation within the intensifying screens and the effects of the extended X-ray source size are considered. We have described the specific analytic MTF in certain cases and results are agreement with foreign computing results.

Key words: digital image; X-ray image.